

2. Fulcher, L.P. Energies of quark – anti-quark systems, the Cornell potential, and the spinless Salpeter equation / L. P. Fulcher, Z. Chen, K.C. Yeong // Phys. Rev. – 1993. – Vol. D47. – P. 4122 – 4132 s.

А.В. Бужан (УО «ГГУ им. Ф. Скорины», Гомель)
Науч. рук. **В.Н. Капшай**, канд. физ.-мат. наук, доцент

ТЕОРЕМА ГАУССА И ЗАРЯДЫ НА ПОВЕРХНОСТИ

Теорема Гаусса в электростатике является простым и действенным способом для нахождения напряжённости поля, создаваемого системой симметрично распределённых зарядов. Однако, для нахождения поля, создаваемого такими зарядами, находящимися на некоторой поверхности, в точке, принадлежащей этой поверхности, теорема Гаусса неприменима, так как не ясным остаётся вопрос: принадлежат ли заряды на выделенной поверхности к объёму, ограниченному этой поверхностью? Для поиска правильного варианта ответа проведём прямой (то есть без использования теоремы Гаусса) расчет напряжённости поля, создаваемого бесконечно тонкой равномерно заряженной с поверхностной плотностью σ сферой радиуса R , в различных точках: (а) вне сферы; (б) внутри сферы; (в) на самой сфере.

а) Пусть точка A находится на расстоянии $r > R$ от центра сферы O (см рисунок 1). Для нахождения напряжённости $\vec{E}(r)$, введём сферическую систему координат, с центром в точке O и осью Oz , проходящей через точку A . Рассмотрим кольцо на сфере, для которого полярный угол принадлежит промежутку $[\theta; \theta + d\theta]$.

Заряд такого кольца равен:

$$dQ = \sigma dS = 2\pi\sigma R^2 \sin\theta d\theta. \quad (1)$$

Напряжённость поля, создаваемого таким кольцом, любая точка которого находится на одинаковом (равном l) расстоянии от точки A (рисунок 2), направлена вдоль оси Oz и по величине равна:

$$dE = \frac{1}{4\pi\epsilon_0} \cdot \frac{dQ}{l^2} \cos\alpha. \quad (2)$$

Выражения для l и $\cos\alpha$ найдём с помощью теоремы косинусов:

$$l^2 = r^2 + R^2 - 2Rr \cos\theta, \quad R^2 = r^2 + l^2 - 2rl \cos\alpha. \quad (3)$$

Подставив в (2) l и $\cos\alpha$ из (3) и dQ из (1), получим:

$$dE = \frac{1}{2\varepsilon_0} \cdot \frac{\sigma R^2 \sin \theta d\theta}{l^3} l \cos \alpha = \frac{\sigma R^2 (r - R \cos \theta)}{2\varepsilon_0 (r^2 + R^2 - 2Rr \cos \theta)^{\frac{3}{2}}} \sin \theta d\theta. \quad (4)$$

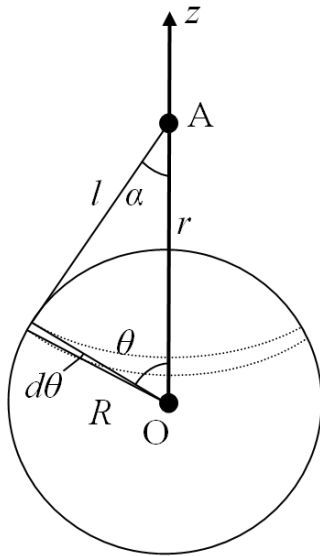


Рисунок 1 – Напряжённость поля вне сферы

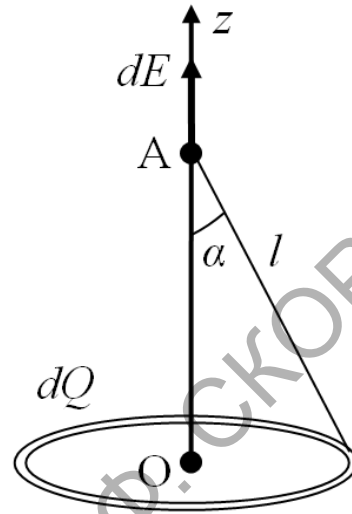


Рисунок 2 – Напряжённость поля выделенного кольца

Для нахождения результирующей напряжённости, проинтегрируем выражение (4) в пределах от $\theta = 0$ до $\theta = \pi$ или по $\cos(\theta)$ от 1 до -1:

$$E(r) = \int_0^\pi \frac{\sigma R^2 (r - R \cos \theta)}{2\varepsilon_0 (r^2 + R^2 - 2Rr \cos \theta)^{\frac{3}{2}}} \sin \theta d\theta = \frac{\sigma}{2\varepsilon_0} \int_1^{-1} \frac{R^2 (R \cos \theta - r)}{(r^2 + R^2 - 2Rr \cos \theta)^{\frac{3}{2}}} d \cos \theta.$$

Перейдём к переменной интегрирования $l^{-1} = (r^2 + R^2 - 2Rr \cos \theta)^{-\frac{1}{2}}$, которая изменяется от $|r - R|^{-1}$ до $(r + R)^{-1}$:

$$\begin{aligned} E(r) &= \frac{\sigma}{4\varepsilon_0} \int_{(r-R)^{-2}}^{(r+R)^{-2}} \frac{R(r - R \cos \theta)}{(r^2 + R^2 - 2Rr \cos \theta)^{\frac{3}{2}}} d(r^2 + R^2 - 2Rr \cos \theta) = \\ &= \frac{\sigma}{2\varepsilon_0} \int_{(r+R)^{-1}}^{|r-R|^{-1}} \frac{R(r - R \cos \theta)}{r} d(r^2 + R^2 - 2Rr \cos \theta)^{-\frac{1}{2}}. \end{aligned}$$

Заменив $(r^2 + R^2 - 2Rr \cos \theta)^{-\frac{1}{2}}$ на l^{-1} и проинтегрировав, получим

$$E(r) = \frac{\sigma R}{4\varepsilon_0 r^2} \int_{(r+R)^{-1}}^{|r-R|^{-1}} \left[(l^{-1})^{-2} + (r^2 - R^2) \right] dl^{-1} = \frac{\sigma R^2}{2\varepsilon_0 r^2} \left(1 + \frac{(r - R)}{|r - R|} \right). \quad (5)$$

При выполнении в выражении (5) условия $r > R$, имеем

$$E(r) = \frac{1}{\varepsilon_0} \cdot \frac{\sigma R^2}{r^2}. \quad (6)$$

Если полный заряд сферы равен Q , то с учётом того, что:

$$\sigma = \frac{Q}{4\pi R^2} \quad (6a)$$

получим привычную формулу для расчета напряжённости на расстоянии r от центра сферы:

$$E(r) = \frac{1}{4\pi\varepsilon_0} \cdot \frac{Q}{r^2}.$$

б) Пусть точка A находится на расстоянии $r < R$ от центра сферы O (Рисунок 3). Для нахождения напряжённости $\vec{E}(r)$ последовательность действий будет такой же, как и в пункте а), поскольку формулы (1)–(4) справедливы и в этом случае, значит, выражение (5) также будет справедливо. Однако, при имеем:

$$1 + \frac{(r - R)}{|r - R|} = 0. \quad (7)$$

Это означает, что при $r < R$ напряжённость электрического поля $E(r) = 0$, что вновь согласуется с теоремой Гаусса.

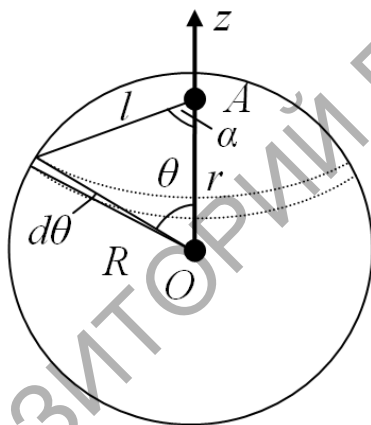


Рисунок 3 – Напряжённость поля внутри сферы

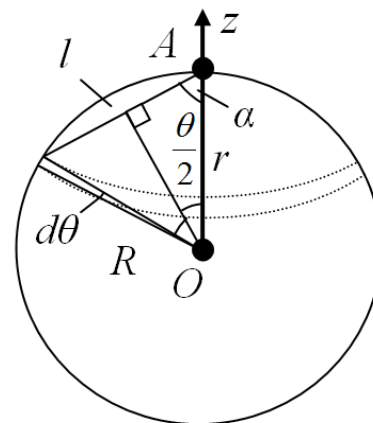


Рисунок 4 – Напряжённость поля на поверхности сферы

в) Пусть теперь точка A находится на расстоянии $r = R$ от центра сферы O (Рисунок 4). Для нахождения напряжённости $\vec{E}(R)$, сделаем аналогичные пункту а) действия. Введём сферическую систему координат, с центром в точке O и осью Oz , проходящей через точку A . Опять, рассмотрим кольцо на сфере, для которого полярный угол принадлежит промежутку $[\theta; \theta + d\theta]$.

Выражения (1) и (2), разумеется, не изменятся, что же касается формул (3), то условие $r = R$ позволяет записать очевидные из рисунка 4 выражения для l и $\cos\alpha$:

$$l = 2R \sin \frac{\theta}{2}, \quad \cos \alpha = \frac{l}{2R} = \sin \frac{\theta}{2}. \quad (8)$$

На основе (1), (8) и (2) получим

$$dE = \frac{\sigma}{8\varepsilon_0} \frac{1}{\sin \frac{\theta}{2}} \sin \theta d\theta = \frac{\sigma}{4\varepsilon_0} \cos \frac{\theta}{2} d\theta. \quad (9)$$

Для нахождения результирующей напряжённости, проинтегрируем выражение (9) в пределах от $\theta=0$ до $\theta=\pi$:

$$E(R) = \frac{\sigma}{8\varepsilon_0} \int_0^\pi \frac{1}{\sin \frac{\theta}{2}} \sin \theta d\theta = \frac{\sigma}{2\varepsilon_0} \int_0^\pi d \sin \frac{\theta}{2} = \frac{\sigma}{2\varepsilon_0}. \quad (10)$$

Учитывая, (6а) получим, что модуль напряжённости поля на поверхности сферы равен половине модуля напряжённости поля вблизи внешней поверхности сферы:

$$E(R) = \frac{1}{8\pi\varepsilon_0} \cdot \frac{Q}{R^2}.$$

Таким образом, напряжённость электрического поля равномерно заряженной сферы равна:

$$E(r) = \begin{cases} 0, & r < R; \\ \frac{1}{2} \cdot \frac{\sigma}{\varepsilon_0}, & r = R; \\ \frac{\sigma}{\varepsilon_0} \cdot \frac{R^2}{r^2}, & r > R. \end{cases} \quad (11)$$

Отметим, что некоторые авторы [1–3] приводят другой ответ, отличающийся от (11) при $r = R$ отсутствием множителя $\frac{1}{2}$.

Аналогично проделанному, можно рассчитать поле, создаваемое равномерно заряженной бесконечно длинной цилиндрической поверхностью, ответ в такой задаче аналогичен (11). Эти примеры с очевидностью ставят задачу уточнения доказательства теоремы Гаусса, включающего рассмотрение зарядов на поверхности.

Литература

- 1.Макаренко, Г.М. Электростатика. Постоянный ток. Магнитное поле. Часть 2 – Новополоцк : ПГУ, 2008. стр. 14.
- 2.Миролюбов, Н.Н., Костейко, М.В. Левинштейн, М.В., Тиходеев Н.Н. Методы расчета электростатических полей. М.: Высшая школа, 1963. – 41 с.
- 3.Савельев, И.В. Курс общей физики. Том 2. Электричество. М. : Наука, 1970. – 33 с.

О.Н. Вечорко (УО «БрГУ им. А.С. Пушкина», Брест)
Науч. рук. **В.А. Плетюхов**, д-р физ.-мат. наук, профессор

К ТЕОРИИ ЧАСТИЦЫ СО СПИНОМ 3/2

Одним из распространенных и общих способов описания элементарных частиц в релятивистской квантовой механике является теория релятивистских волновых уравнений (РВУ) первого порядка. Данная теория исходит из того, что описание свободного микрообъекта с ненулевой массой и заданным значением спина может быть осуществлено посредством матрично-дифференциального уравнения

$$(\tilde{A}_\mu \partial_\mu + m)\psi(x_\mu) = 0, \quad (\mu = 1, 2, 3, 4), \quad (1)$$

где ψ – многокомпонентная волновая функция, преобразующаяся по некоторому набору неприводимых зацепляющихся представлений группы Лоренца; G_μ – квадратные матрицы соответствующей размерности.

В стандартном подходе теории РВУ, основы которой были заложены Дираком, Фирцем и Паули, при построении уравнения для частицы с данным спином используется минимально необходимый набор неприводимых представлений. Так, в случае спина $S = 3/2$, берется набор $(0, 1/2) \oplus (1/2, 0) \oplus (1/2, 1) \oplus (1, 1/2)$, который образует так называемую схему зацеплений

$$\begin{array}{ccc} (1/2, 0) & \text{---} & (1, 1/2) \\ | & & | \\ (0, 1/2) & \text{---} & (1/2, 1) \end{array} \quad (2)$$

В результате получается хорошо известное уравнение Фирца–Паули [1].

РВУ указанного типа содержат только одну внутреннюю характеристику микрочастицы – её спин. Для описания же других внутренних